

周期性をもつ基本流の線形安定性について

名大工応用物理 磯部文男
桑原真二

1. 序

流れが垂直な平面内に平行に置かれた平板列、または平行円柱列などの周期性をもつ境界の直後の伴流は同じ周期性をもつが、さうに後方ではその周期より長い周期をもつ流れがあることがあることがある。(Fig.1)これを平行平板等の直後の速度分布をもつ流れの不安定を考え、Orr-Sommerfeld 方程式を用いて解析する。

岐阜大学の松井教養等による実験では、基本波の最大値 V_0 、平行板列、あるいは平行円柱列の周期 λ 、動粘性係数 ν によく Reynolds 数 $Re = \lambda V_0 / \nu$ が $2000 \sim 3000$ で行なわれてゐる。この際、平行板、あるいは円

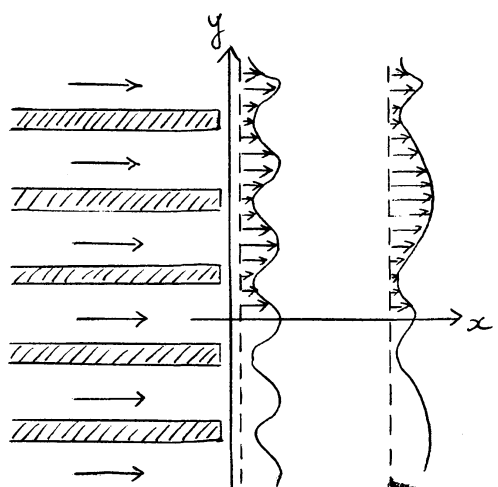


Fig.1 流れの概略図 速度の x 成分
(基本流の方向) を示す

柱の数は 20~42 である。平行板の厚さ、あるいは円柱の直径を d とし、 l/d を変化させて、 \sqrt{d} が小さくなると、大まかに周期の速度分布がえられる。

2. 問題の述べ

平行な平板列等をすぎたとき、こぼろくは平行流であるとして、二次元性が否められ、これに微小擾乱が加えられたとき Orr-Sommerfeld 方程式を用ひる：

$$L\phi = CM\phi \quad (2.1)$$

$$\left. \begin{aligned} L &= -\frac{1}{ikR} \left(\frac{d^2}{dy^2} - k^2 \right)^2 + U(y) \left(\frac{d^2}{dy^2} - k^2 \right) - U'(y) \\ M &= \frac{d^2}{dy^2} - k^2 \end{aligned} \right\} \quad (2.2)$$

ただし、 L, M は算算子、 C ：固有値（複素数）

ψ ：流れ関数 $= \phi(y) e^{ik(x-ct)}$ である。

主流は平行流： $\vec{V} = (U(y), 0, 0)$ で y が T の周期をもつ。すなはち x 軸面に平行な対称とする：

$$U(y) = U(y+z), \quad U(y) = U(-y) \quad (2.3)$$

したがって Orr-Sommerfeld 方程式の係数が同一周期をもつ。

4 階の線形同次常微分方程式となる。

係数が連続で、同一の周期を持つ 4 階の線形同次常微分方程式は一意独立な 4 個の解を次の形でとることとする（

Floguet の定理)

$e^{i\mu\pi y} \times$ (俌数と同周期の関数を俌数とする y の解)

となる。この形の解が少なくてとも 1 つ存在する。

$e^{i\mu\pi y} \times$ (俌数と同周期の関数)

Orr-Sommerfeld 方程式的この形の解のうち $y \rightarrow \pm\infty$ で

中: 有限 z 物理的に意味のある解は

$$\phi = e^{i\mu\pi y} F(y) \quad F(y) = F(y+2), \quad \mu: \text{実数} \quad (2.4)$$

の形のものである。 μ : 実数 とおくことになり、境界条件の関わりにすることがある。この場合は $0 \leq \mu \leq 1$ の範囲での参考をねばならない。また、L, M は次のよう本性質がある。

$$L(-y) = L(y), \quad M(-y) = M(y) \quad (2.5)$$

(左 $y > z$, $\phi(y)$ が固有値 c を持つ解のとき, $y \rightarrow -y$ とき $\phi(-y)$ も同じ固有値を持つ解となり,

$$\begin{aligned} \phi(-y) &= e^{-i\mu\pi y} F(-y) = e^{i(1-\mu)\pi y} [e^{-i\mu\pi y} F(-y)] \\ &= e^{i\mu\pi y} G(y) \quad (G(y) = G(y+2)) \end{aligned} \quad (2.6)$$

これが L の z , M 関して成り立つ F . $0 \leq \mu \leq 1/2$ の参考をねばよい。これは μ の値を μ の値に代入し, ϕ の基本周期 2 は次のよ

$$\mu = 0/1 \quad s = 2 \quad \mu = 1/2 \quad s = 4$$

$$\mu = 1/3 \quad s = 6 \quad \mu = 1/4 \quad s = 8$$

$$\mu = 1/5 \quad S = 10 \quad \mu = 2/5 \quad S = 10$$

$$\vdots \quad \vdots$$

$$z = z'$$

$$L' \Phi = L(e^{i\mu\pi y} F(y)) = e^{i\mu\pi y} L'_\mu F(y)$$

$$M' \Phi = M(e^{i\mu\pi y} F(y)) = e^{i\mu\pi y} M'_\mu F(y)$$

となる Φ . Orr-Sommerfeld 方程式は

$$L'_\mu F = C M'_\mu F \quad (2.7)$$

$$\left. \begin{aligned} L'_\mu &= -\frac{1}{i\mu k} \left(\left(\frac{d}{dy} + i\mu\pi \right)^2 - k^2 \right)^2 + V(y) \left(\left(\frac{d}{dy} + i\mu\pi \right)^2 - k^2 \right) - V'(y) \\ M'_\mu &= \left(\frac{d}{dy} + i\mu\pi \right)^2 - k^2 \end{aligned} \right\} \quad (2.8)$$

となる.

V. F は Fourier 級数の展開式であると仮定する.

$$F(y) = \sum_m a_m U_m \quad (U_m = e^{im\pi y}/\sqrt{2}, (U_k, U_m) = \delta_{km}) \quad (2.9)$$

$$V(y) = \frac{1}{\sqrt{2}} \sum_m V_m U_m$$

(2.7) に U_m を代入し $0 \leq y \leq 2$ の積分を取る (galerkin の $\delta = \xi$)

$$\sum_n a_n L'_{mn} = C \sum_m a_m M'_{mn} \quad (2.10)$$

$$L'_{mn} = (U_m, L' U_n), \quad M'_{mn} = (U_m, M' U_n) \quad (2.11)$$

$$(f, g) = \int_0^2 f(y) g(y) dy$$

となる. 行列の形:

$$L'_{mn} = (L')_{mn}, \quad M'_{mn} = (M')_{mn}, \quad a_n = (A)_n$$

とかく $C (2.10)$ は次の形となる.

$$(L' - C M')_{ij} = 0 \quad (2.12)$$

M^{-1} の逆行列を左から引く

$$(M^{-1}L - c) \alpha = 0 \quad (2.113)$$

$$\left. \begin{aligned} (M^{-1}L)_{\ell m} &= \beta_{\ell m} = \frac{1}{i\kappa R} [(\ell + \mu)^2 \pi^2 + k^2] \delta_{\ell m} \\ &\quad + \frac{1}{2} V_{\ell-m} \frac{[(\mu + \ell)(2m + \mu - \ell)] \pi^2 + k^2}{[(\mu + \ell)^2 \pi^2 + k^2]} \\ \beta_{\ell \ell} &= \frac{1}{i\kappa R} [(\ell + \mu)^2 \pi^2 + k^2] + \frac{1}{2} V_0 \\ \beta_{\ell m} (\ell \neq m) &= \frac{1}{2} V_{\ell-m} \frac{[(\mu + \ell)(2m + \mu - \ell)] \pi^2 + k^2}{[(\mu + \ell)^2 \pi^2 + k^2]} \end{aligned} \right\} \quad (2.14)$$

ここで V は x 依存性が小さいと仮定。まず一般に平行に近い自由流 V の x 依存性を議論する。速度 V が $x = 0$ の図のように階段関数的に 0 から V_0 まで変化してなるとする。このとき運動方程式の x 成分は近似的に次のようになる。

$$\nabla \cdot \frac{\partial V}{\partial x} = V \frac{\partial^2 V}{\partial y^2}$$

これを積散方程として解く。 $y_0 = 0$ 附近の V と U の領域の巾 y_0 は次式で評価される。

$$y_0 \propto (\nu x / U_0)^{1/2}$$

したがって y_0 方向の

基本流の周期を d とし

たとえ、この式が満たされると範囲で、 x 依存

性が小さくとみなせよう。すると

$$1 \gg y_0/d \propto (\nu x d / U_0)^{1/2} \cdot (x/d)^{1/2} = [(V_R \cdot (x/d))]^{1/2}$$

(下が) 2, 平板列までは円柱列等が 2 の距離で $\delta \ll R$ を満たす範囲とは基本流束 χ による而已としてよい。

3. 境界条件のモード性質

• 安定の十分条件

(2.1) より

$$\int_0^2 (\phi^* L \phi - \phi L^* \phi^*) dy = \int_0^2 (c \dot{\phi}^* M \phi - c^* \phi M \dot{\phi}^*) dy \quad (3.1)$$

を得る。

$$\phi^* = (e^{i\mu\pi y} \cdot \psi)^* = e^{-i\mu\pi y} F^*(y)$$

$$\begin{aligned} \frac{d^m}{dy^m} \phi &= \frac{d^m}{dy^m} (e^{i\mu\pi y} F(y)) = e^{i\mu\pi y} \left(\frac{d}{dy} + i\mu\pi \right)^m F(y) \\ &= e^{i\mu\pi y} G(y) \quad (G(y) = G(y+2)) \end{aligned}$$

を用ひ、部分積分をくりかえすと. Poiseuille 流等のとすると
 $\lambda < \infty$, 安定の十分条件を μ に依存しない形で得る $\lambda < \delta$
 となる。可及的

$$\lambda b R < \min \{ (I_2^2 + 2b^2 I_1^2 + b^4 I_0^2) / I_0 I_1 \}$$

である

$$\delta = \max |UV|$$

$$I_m^2 = \int_0^2 \left| \frac{d^m \phi}{dy^m} \right|^2 dy$$

• 境界条件の比較

この固有値問題の代表として、1 次元の Schrödinger 方程式を参考。Orr-Sommerfeld 方程式との境界条件の比較を行ふ。

Navier Stokes 方程式とは Poiseuille 流のように壁にかみられた流れの場合、その境界条件は壁で $\dot{\phi} = 0$ であり、この場合、流れの関数に対する $\partial \dot{\phi} / \partial x = \partial \dot{\phi} / \partial y = 0$ となる。Orr-Sommerfeld 方程式とはこれと対応し、壁で $\dot{\phi} = d\dot{\phi} / dy = 0$ となる。あると $= 3$ の関数の値が 0 となる条件は Schrödinger 方程式とは無限の高さの Potential の壁における波動関数の条件 $\psi = 0$ に対する条件であることを示す。したがって、境界層における無限遠の擾乱関数に対する条件としては、擾乱の速度 $= 0$ が、無限遠で $\dot{\phi} = d\dot{\phi} / dy = 0$ となる。これは Schrödinger 方程式とは束縛された粒子の波動関数が無限遠では $\psi = 0$ となることに対応する。

ここで考えた周期的基本流に対する擾乱の関数は $\dot{\phi} = e^{i k \pi x} F(y)$ の形を表す。これは倍子の中の周期的基本 Potential の中に含まれる粒子の波動関数が Bloch の定理、あるいは Floquet の定理により $\psi = e^{i k \pi x} F(x)$ ($F(x) = F(x+L)$) と書かれることに対応する。

4. 計算方法

- 主流 $> 10^2$

計算は Model として次直のよう正方形の速度分布に対する。

二本B孔下、周期2の壁がおかれること

II₂とし、この壁のすきまを2Tとする。

(2) 速度分布は平行板の内部では

Poiseuille 流であるので、壁から出るの

とも、しばしば同じ型をII₂とする。

と仮定した。Tは0.25, 0.5, 0.75と変化させた。ただし、流量

は1で正規化である。すなもと V_0 の定義とし、

$$V_0 = \int_{-L}^L U(y) dy / L$$

$L = 2\pi$ は基本流の周期。この V_0 が Reynolds 数 R は

$$R = V_0 L / \nu = 1/\nu \int_{-L}^L U(y) dy$$

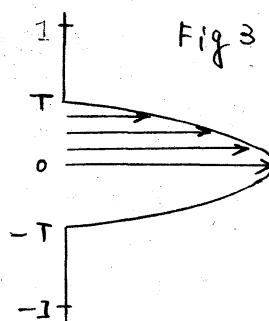
・固有値；固有関数 $F \rightarrow II_2$

F の展開は $F = \sum_{m=-N}^N a_m u_m$ として近似をすると、問題は B_{lm} ($-N \leq l, m \leq N$) の固有値問題に帰着され、 a_m はこの固有 Vector となる。この行列 B_{lm} の固有値、固有 Vector を数値的に計算した。この際 $B_{lm} F$ は U_m の $-2N \leq n \leq 2N$ の範囲で含まれる。

5. 計算結果

・中立曲線 $F \rightarrow II_2$

各式の形の基本流 $F \rightarrow II_2$ の $\mu = 0/1, 1/2, 1/3, 1/4, 1/5, 2/5$



$F > 112$ の中立曲線は別表へとあります。

ニニ二行、 F 計算では、試みに基本流の形すく $F > 112$ $\mu = 0/1$ 。すなあち基本流と同周期の擾乱が最小の臨界 Reynolds 数をえます。こゝときの中立曲線は $\mu = 0/1$ の他 μ の場合は大きくこゝとなく、 F 形をしており、2次元の Jet 伴流に対する中立曲線と類似の F 。Reynolds 数の依存性をもつてゐる。なお、この中立曲線をえがくための計算は $N = 20$ で行なつた。

・固有関数 $F > 112$

Poiseuille 流型で $T = 0.75$, $R = 30$, $b = 1.0$ のとき $\mu = 0/1, 1/2, 1/3$ 。 $F > 112$ 固有関数が計算した。この T, R, b の値のとき $\mu = 0/1$ の $F > 112$ は 1 つの固有値が不安定をもつて、他の固有値は安定性をもつてます。 $\mu = 1/2, 1/3$ では中立曲線の近くで安定である。固有値の虚数部の大きさ順に $m = 1, 2, \dots$ とし F とき。 $m = 1 \sim 5$ の $F > 112$ の固有関数は別表のとあります。この計算は $N = 71$ として、倍精度で行なつた。中 = $e^{im\theta} F(\theta)$ における絶対値の最大値をとると ≈ 3 の値が 1 となるようにして正規化してある。

ニニ二計算された範囲では安定なものほど振動が多くて、 ≈ 113 値向がみられる。また高次の固有関数はこの Fourier 級数を比較すると、 $(2m+1), 2(m+1)$ 番目の固有関数 ($m = 0, 1, 2, \dots$)

は $U_{\pm m}$ が最も大きくなる, これは $\pm F(y) = 0$ のときに行ずる、
反対称の値でこの固有値が最も大きい。

6. 総論

以上の Orr-Sommerfeld 方程式を用いて計算結果では、基本流と同周期をもつ流れが全体の流れの中でも最も不安定であることが示された。そしてこのえりかに臨界 Reynolds 数は実験が行なわれたによると $100 \sim 1000$ の order の Reynolds 数である、あるいは $1 \sim 10$ order である。これが値が異常に大きい。
この実験の行なわれた Reynolds 数は以上で調べてやうの周期で不安定になつてあり、実験が行なわれた下流を説明するには、このすべての周期の擾乱が微小の擾乱から有限の振幅に至るのちの、有限振幅の非線形相互作用による影響を調べなければならないのである。ところが現をすることが出来る。あるいはここまでのままで流れの線形安定性の理論では不足である、つまり $R < R_c$ の Approach が必要である。

Poiselle 型の流れのとき座のあくとすすめを変化させたとき、流量一定と考えれば、一般に座のあくさくがすすめに比べて大きくなるほど不安定になりやすくなることが、計算上でやうべこの周期の擾乱につれてわかる。

固有関数に関することは、計算を行う関数の数が少なければ、
確実的とは言えないが一般に次のようなることが言える。
すなはち、不安定な擾乱の固有関数ほど振動が少なく、
安定な擾乱率の絶対値が大きいものほど、振動の数が大
きくなる。これは振動の数が大きいものほど、粘性によ
る減衰がやすくなることからたとえられることがある。
逆にこのことから Fourier 級数による位の N 頃まで
とつ下近似の精度がよく、 N を小さくとつべきである。
ある程度の精度まで、固有値、固有関数をとることの説明にも
なるであろう。

付記

• $V(y)$ の Fourier 級数展開 $N > 11$

Fourier 級数展開を基本流 $V(y)$ に適用することを考えると、
Orr-Sommerfeld 方程式 $\frac{d}{dy} V(y)$ の 2 階微分が現われており、こ
れも上と考へて Model に用ひると $V(y)$ の 2 階微分に delta 関
数的存在意義が現われることとなる。 $V(y)$ の 2 階微分の Fourier
展開はある振幅をもつべきであるが、それが振動をする。計算は Fourier
級数を用ひて行なわれるが、ここで V の 2 階微分の振動の影
響を考えなければならぬ。

• $\exists \varepsilon > 0$, $\forall N$ をこの N 次の近似内に Feyn の級数式を示すといえ。そのときの固有値、固有関数の変化を調べよ。(別表参照)
 $V(y)$ を Feyn の級和式と書きかえてとす。この ε -階級分には
 基本流の ε -階級分と特異点以外は一致。取向川は向流に変化をし、特異点のまわりでも有限の値をとり。十分なのみならず $\varepsilon < 113$ 。しかも Feyn の級和式モリ(4) の正則性に関するこ
 は、 $N \rightarrow \infty$ と一緒に収束を取る。上記の表より、附、付図より
 $\varepsilon = \text{Fourier 級数展開} \Rightarrow \varepsilon < 113$ 固有値、固有関数は近似の程度 N にあまり依存せず、非常に多くの収束を < 113 . Feyn
 の級和式による計算は $N \rightarrow \infty$ にしたがって Fourier 級数によ
 $\Rightarrow \varepsilon < 113$ 固有値、固有関数に十分近づけることになる。した
 がって ε Fourier 級数によるとある $V(y)$ の ε -階級分の振
 動の影響は小さく参考され、しかし Fourier 級数展開によ
 て近似とは、重数をそれほど大きくする必要はないことを想定する。

• 高次の固有値に $\varepsilon < 113$

M: 小 α ときの固有値の R 依存性。R 依存性までは基準
 流の形による依存性は予想できないうが、高次の固有値は α の
 ような考察から近似的に得られることがある。

中は級数展開における最初の N 項によること近似である。
 この近似は高次の mode θ^m すべての mode θ^0 mode と分離して ε
 ときの外、正しく。もし高次の mode θ^m が分離しないときは、

高次の固有値に対する近似表現を得ることができる。もし n 項目の mode が分離してなければ行列の対角成分のみが a_m に対する方程式に含まれる。すなはち

$$(B_{mm} - c) a_m = 0$$

これは十分大きな ℓ に対して

$$B_{\ell\ell} \approx \ell^2 \pi^2 / i k R$$

$$B_{\ell m} (\ell \neq m) \approx \frac{1}{2} U_{\ell-m} \frac{2m-\ell}{\ell} = U_{\ell-m} \left(\frac{m}{\ell} - \frac{1}{2} \right)$$

で

$$\begin{aligned} |B_{\ell m}/B_{\ell\ell}| &\approx U_{\ell-m} \left(\frac{m}{\ell} - \frac{1}{2} \right) / \ell^2 \pi^2 / k R \\ &\approx k R U_{\ell-m} m / \ell^3 \end{aligned}$$

であるが、十分 ℓ が大きければ、対角成分のみの近似方程式を考へれば十分な近似が得られる。このとき $m=2n$, $(2n+1)$ 項目の固有値は n が十分大きければ、

$$C_{2n}^{2n+1} \approx \beta_{(n,n)} = \frac{1}{2} U_0 + \frac{1}{i k R} [(-n+m)^2 \pi^2 + h^2]$$

で表される。(固有値の Graph 参照) またこの式から、明るさが存在する。この C_n の近似は基本流の Fourier 級数としては U_0 が必ずしも正直化により $U_0=1$ となるが、高次の固有値は主流の速度分布によるとなるべくがかかる。これは計算結果からもよくわかる。

基本波の Fourier 級数展開と Fejér の総和法による得られた

固有値の比較. (Poisson 球型, $T=0.75$, $R=30$, $k_2=1.0$, $\mu=1/3$)

Fourier 級数

Fejér の総和法

$N=15$ 実数部 虚数部

$m=1$ 0.90254 -0.02808

2 0.07661 -0.05903

3 0.52197 -0.26782

4 0.50423 -1.02777

実数部 虚数部

0.89110 -0.032805

0.08982 -0.06140

0.51884 -0.26078

0.50489 -1.02108

$N=25$

$m=1$ 0.90254 -0.02808

2 0.07661 -0.05903

3 0.52197 -0.26782

4 0.50423 -1.02776

0.89559 -0.030956

0.08464 -0.06049

0.52000 -0.26354

0.50464 -1.02363

$N=35$

$m=1$ 0.90254 -0.02808

2 0.07661 -0.05903

3 0.52197 -0.26782

4 0.50423 -1.02777

0.89755 -0.03015

0.08238 -0.06006

0.52056 -0.26424

0.50454 -1.02477

計算した固有関数の 35. Poisson 球型 $T=0.75$, $R=30$,

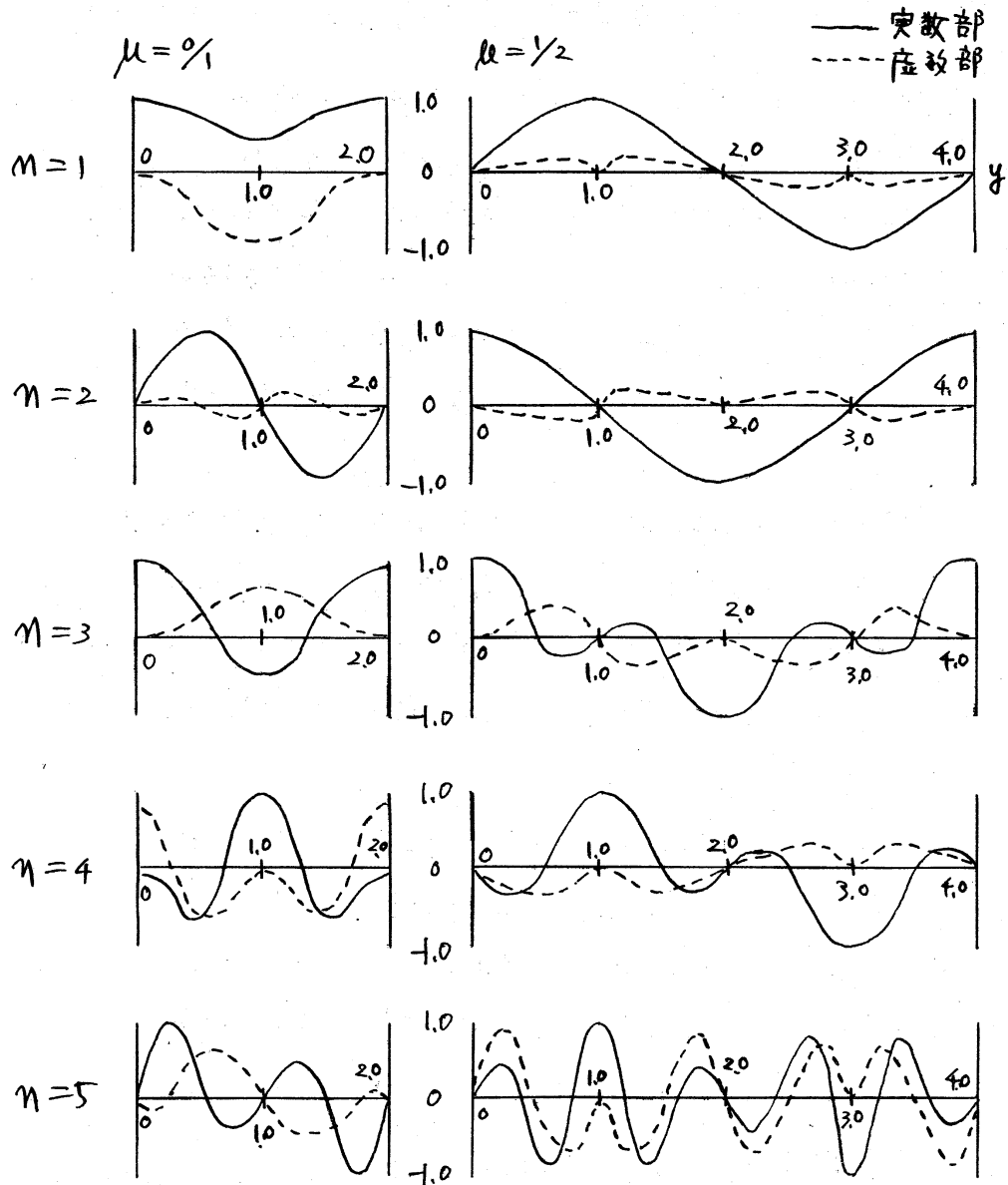
$k=1.0$, $a \in \mathbb{S}^1$, $\mu=1/1, 1/2$ に対する固有関数を Graph

にして下. ただし, 固有値の虚数部の大きさ $|Im z| = M = 1, 2,$

… とし, $m=1 \sim 5$ をして下. 近似は $N=35$ で計算を行った.

Fig. 4

固有関数 (Poisuille 流型 $T=0.75$ $R_e=30$, $k=1.0$ $\mu=0/1, 1/2$)



次頁に固有値 c の Reynolds 数による変化と高次の固有値の n 依存性を示す。Reynolds 数による変化のときは $N=20$ 、高次の固有値の n 依存性のときは $N=35$ で計算を行った。

Fig.5

固有値 $C (=C_r + iC_i)$ の Reynolds 敗 $1 = \mu_3$ 変化 の様子

(Poiseuille 流型, $T=0.75$, $\mu=1/3$, $k=1.5$)

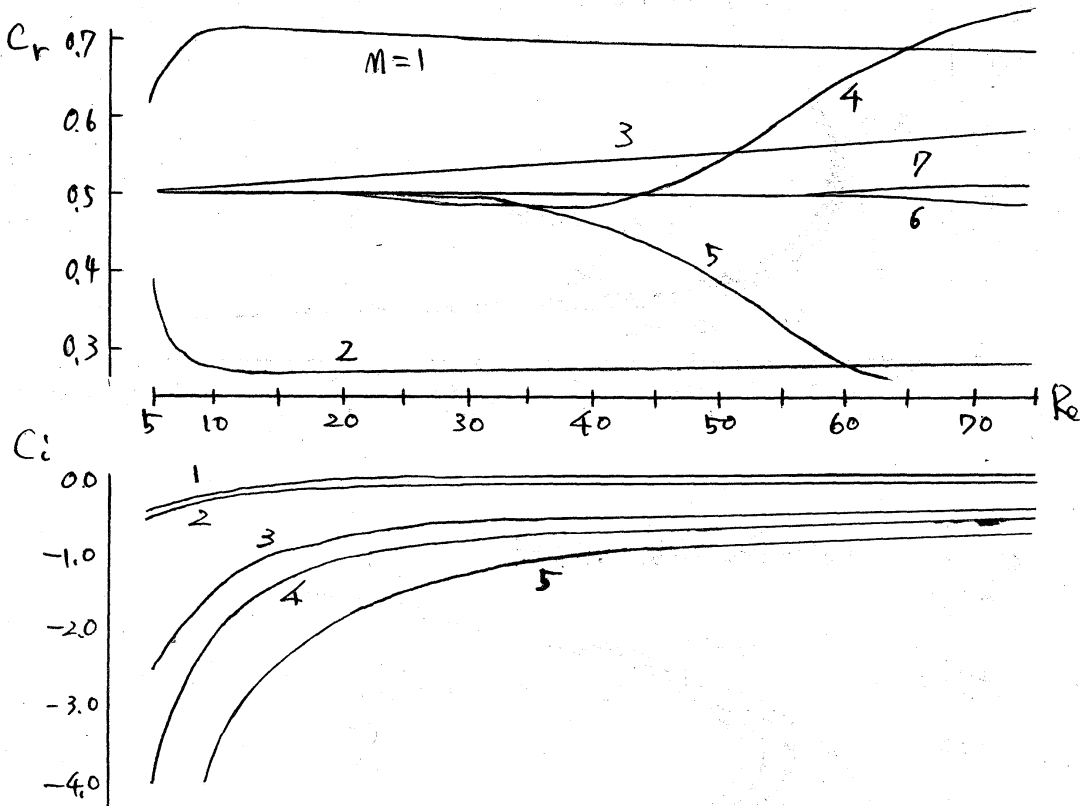


Fig.6

高次の固有値 $C (=C_r + iC_i)$ の変化の様子

(Poiseuille 流型, $T=0.75$, $\mu=1/3$, $k=1.0$, $Re=30$)

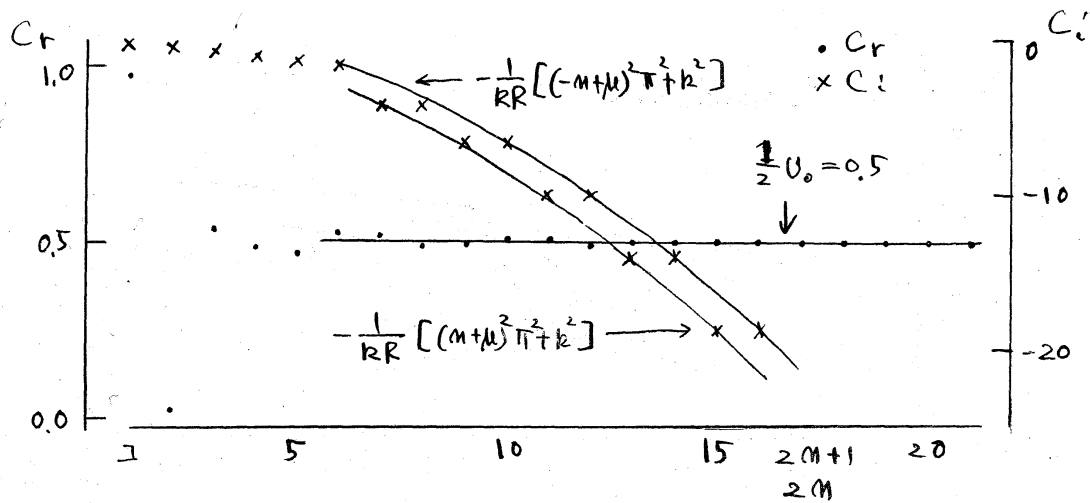
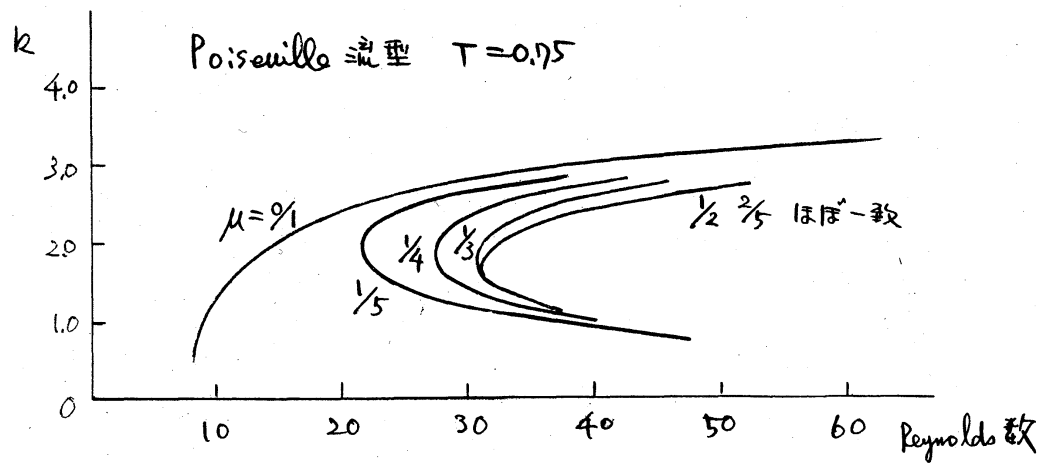
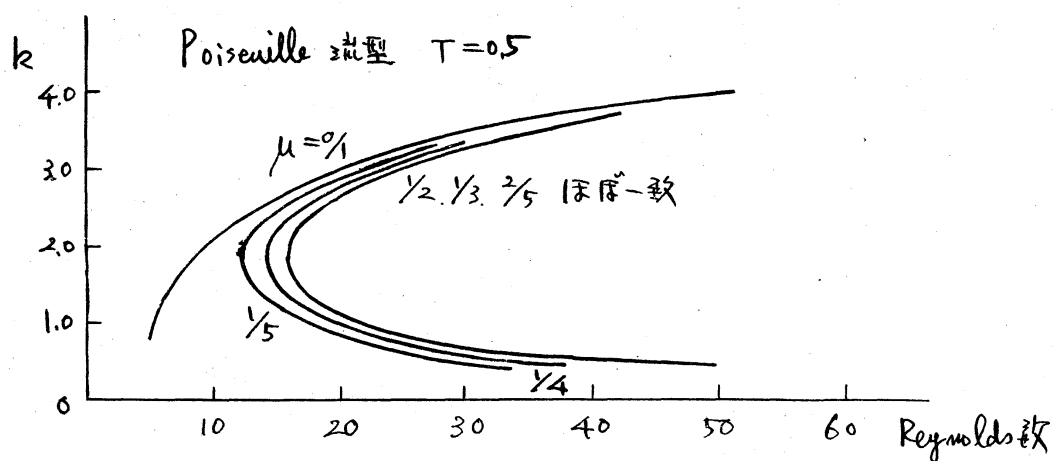
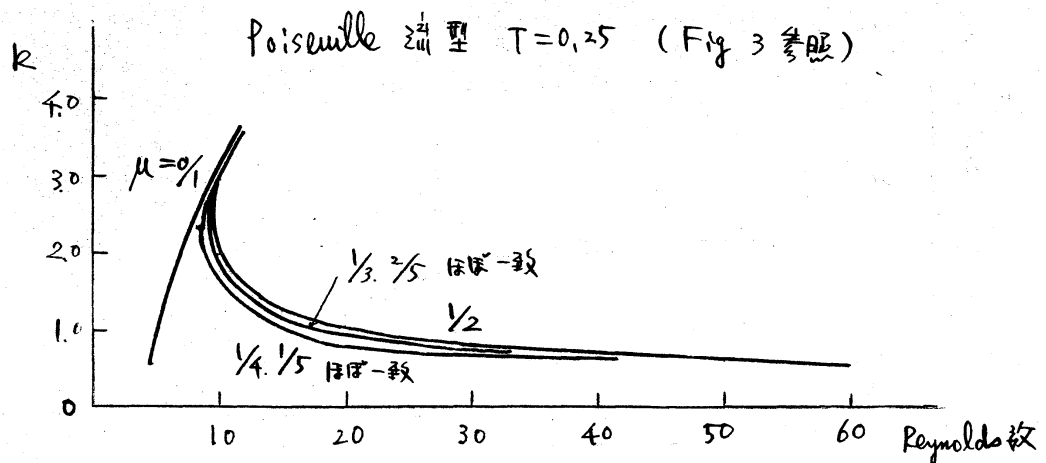


Fig. 7 中立曲線



参考文献

C. C. Lin : The theory of Hydrodynamic Stability
 (Cambridge University Press)

E.A. Coddington, N. Levinson :
 Theory of Ordinary Differential Equations
 (McGraw-Hill)

C. Grossh. H. Salwen :
 J. Fluid Mech. Vol 34 Part 1, 197 (1963)

T. Matsui : 1975 Joint JSME-ASME Applied Mechanics
 Western Conference #15